

Mais sobre modelagem

Prof. Caio Azevedo

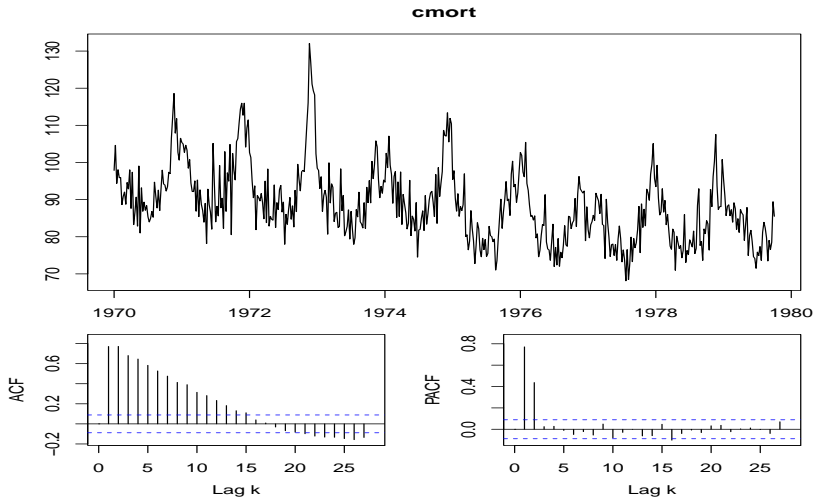
Introdução

- Discutiremos um pouco mais sobre modelagem de ST, limitando-nos a classe de modelos **ARIMA**. Ou seja, mesmo o aqui escolhido pode ou não ser apropriado, ou mesmo pode não ser o mais apropriado.
- Essencialmente usaremos as metodologias vistas (gráficos de ST, FAC, FACP, eventualmente suavização, estimação por MV, análise de resíduos padronizados e previsão) usando a função `sarima` do pacote `astsa`.
- Revisitaremos algumas séries vistas ao longo do curso, até o momento.

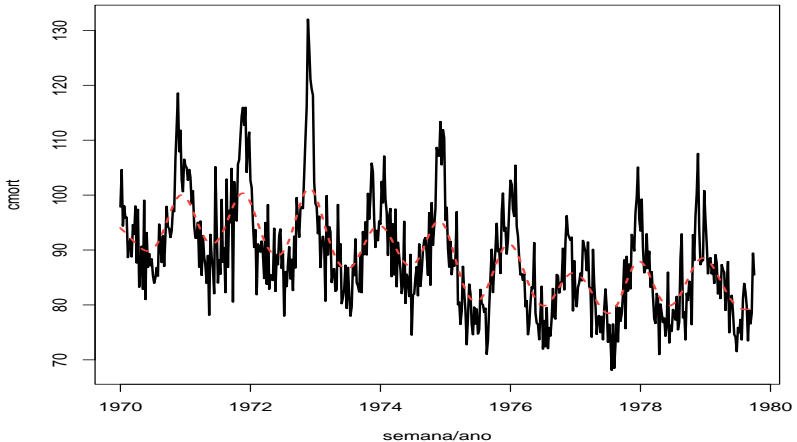
Mortalidade por questões cardiovasculares

- Mortalidade média semanal por questões cardiovasculares, no condado de Los Angeles, no período de 1970-1979.
- Disponível no pacote `astsa` sob o nome “`cmort`”.
- A ST parece ser estacionária (com sazonalidade).
- Um modelo $AR(p)$ parece ser apropriado.
- Exercício: escrever os modelos ajustados.

Gráficos de ST, FAC e FACP da ST

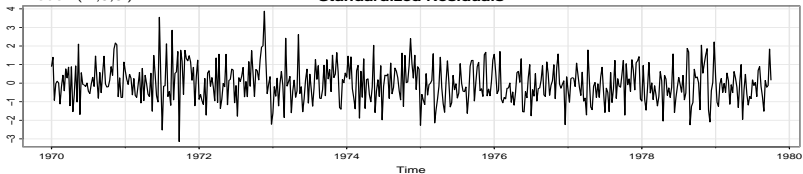


Suavização por kernel ($b=0,5$)

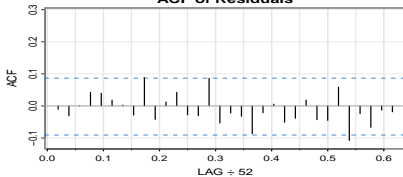


Model: (2,0,0)

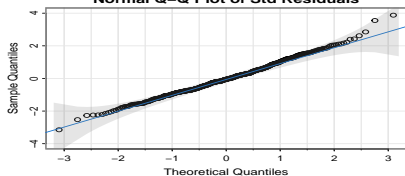
Standardized Residuals



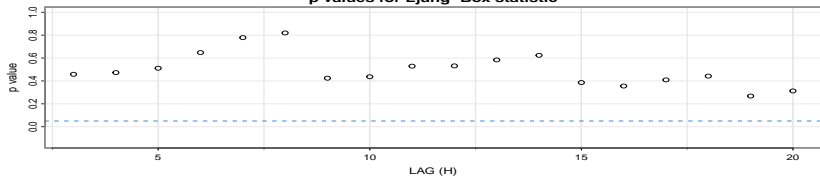
ACF of Residuals

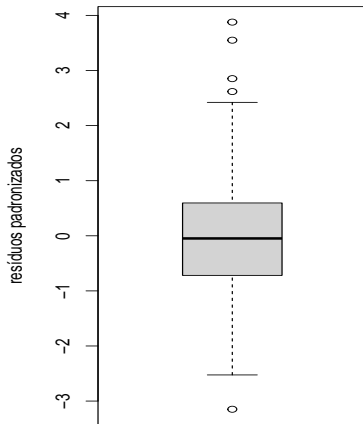
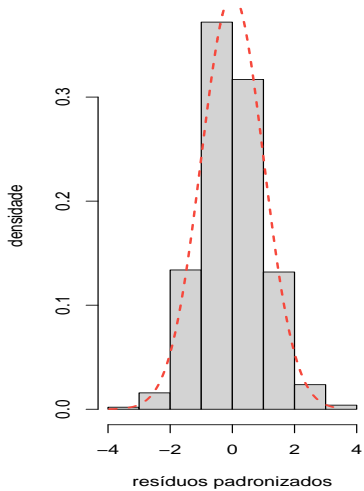


Normal Q-Q Plot of Std Residuals

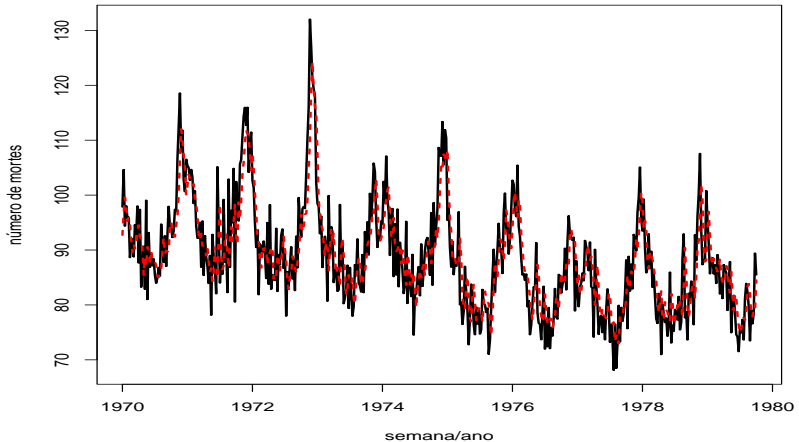


p values for Ljung-Box statistic

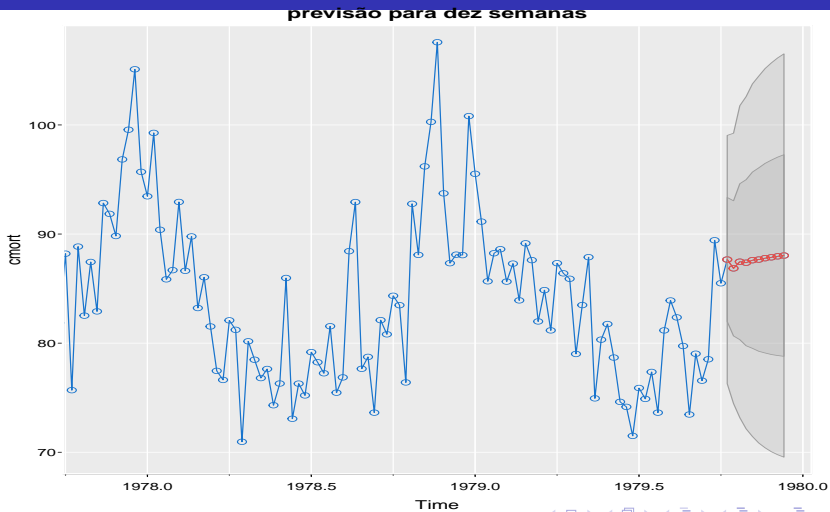




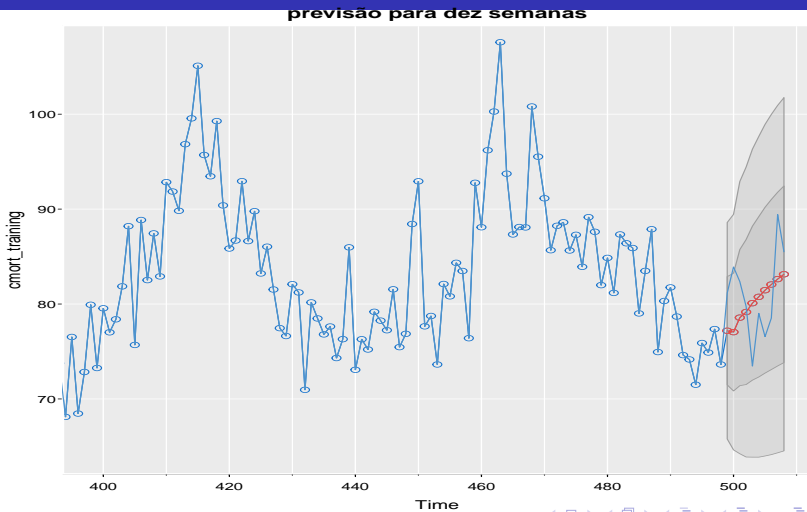
Previsão para valores observado vermelho (P), preto (P)



Previsão para valores futuros

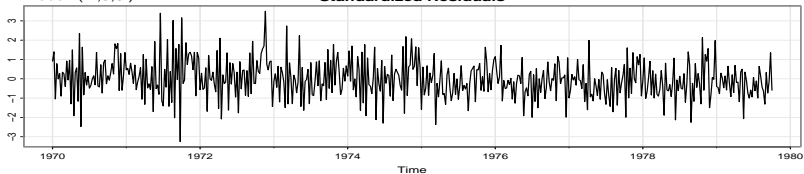


Previsão para valores futuros observados

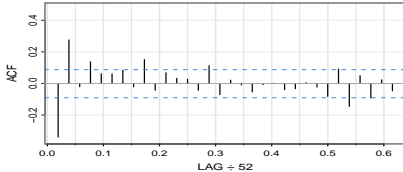


Model: (1,0,0)

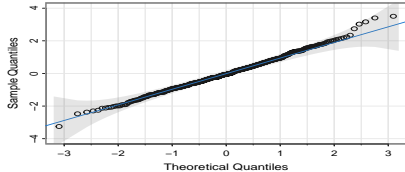
Standardized Residuals



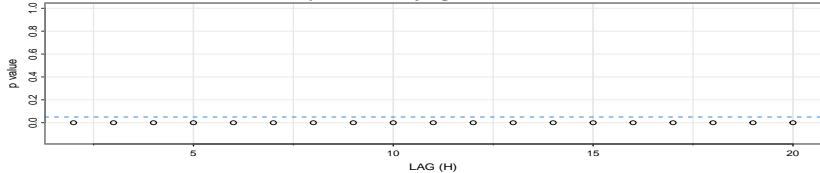
ACF of Residuals

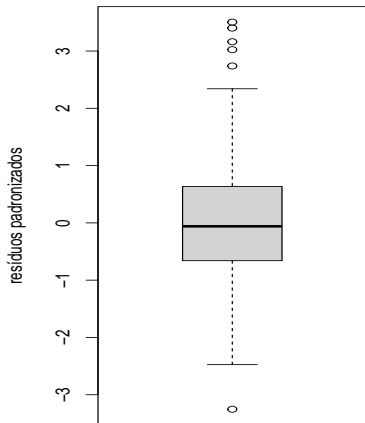
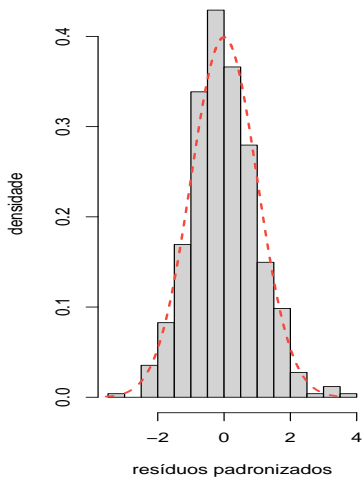


Normal Q-Q Plot of Std Residuals



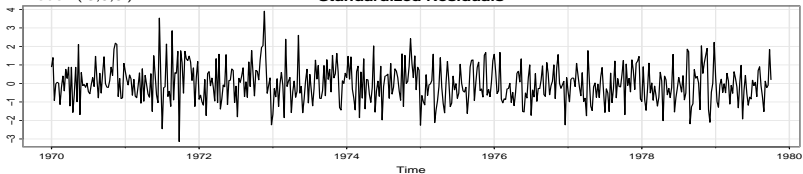
p values for Ljung-Box statistic



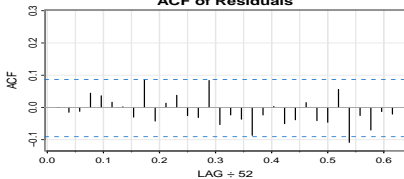


Model: (3,0,0)

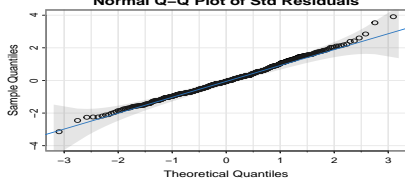
Standardized Residuals



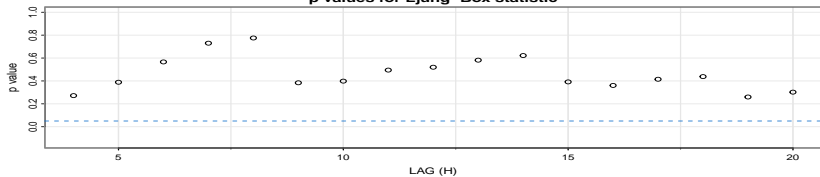
ACF of Residuals

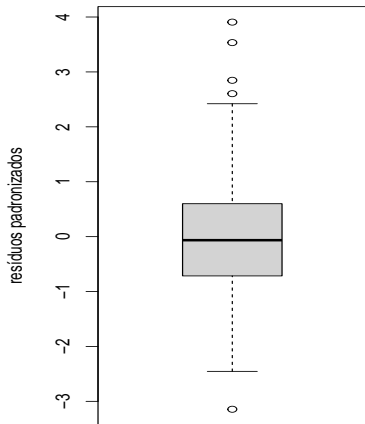
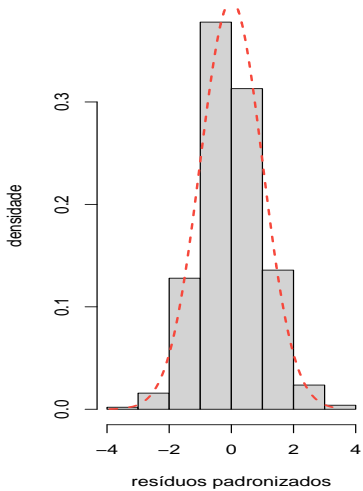


Normal Q-Q Plot of Std Residuals



p values for Ljung-Box statistic





Ajuste dos modelos

Modelo	AIC	AICc	BIC
AR(1)	6,547	6,547	6,572
AR(2)	6,334	6,334	6,367
AR(3)	6,337	6,337	6,378

Previsão para valores observados

Modelo	EQM	EAM	EPM	EPAM
AR(1)	40,268	5,001	-0,520	5,643
AR(2)	32,371	4,494	-0,445	5,061
AR(3)	32,350	4,493	-0,448	5,059

Previsão para valores futuros

Modelo	EQM	EAM	EPM	EPAM
AR(1)	51,079	5,851	-7,639	7,639
AR(2)	18,393	3,547	-2,737	4,615
AR(3)	17,463	3,478	-2,504	4,520

Estimativas

Par.	Est.	EP	IC(95%)	Estat. t	p-valor
ϕ_1	0,43	0,04	0,35 ; 0,51	10,84	<0,0001
ϕ_2	0,44	0,04	0,36 ; 0,52	11,12	<0,0001
μ	88,85	1,94	85,05 ; 92,66	45,78	<0,0001

raízes de $\phi(z) \approx (1,094; 2,066)$ (modelo estacionário e causal)

Par.	Est.	EP	IC(95%)	Estat. t	p-valor
ϕ_1	0,42	0,04	[0,33 ; 0,51]	9,47	<0,0001
ϕ_2	0,43	0,04	[0,34 ; 0,52]	9,76	<0,0001
ϕ_3	0,03	0,04	[-0,06 ; 0,11]	0,57	0,5673
μ	88,87	1,99	[84,98 ; 92,77]	44,70	<0,0001

Comentários

- Os modelos se ajustou AR(2) e AR(3) se ajustaram bem aos dados (análise residual + análise preditiva para os valores observados e futuros), em que pese uma possível assimetria e/ou caudas pesadas, dos resíduos padronizados.
- O modelo AR(2) se ajustou melhor do que os demais, segundo os critérios de informação, enquanto que o AR(3) foi superior em relação aos critérios de previsão.

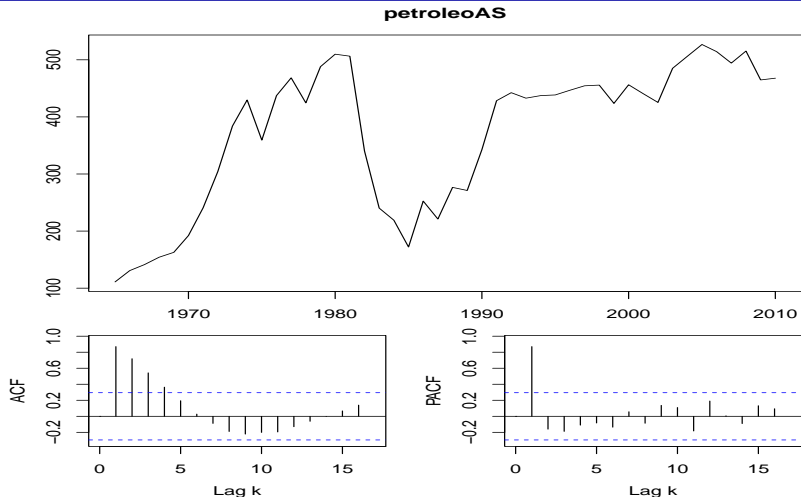
Comentários

- Mesmo com a não significância do ϕ_3 (modelo AR(3)), ficaríamos com esse modelo, sob ressalvas.
- Possibilidades de melhora (não exaustivas):
 - Considerar outra distribuição para os erros.
 - Ajustar um modelo SARIMA (com sazonalidade + AR, sem a componente MA) com a mesma ou outra distribuição para os erros.

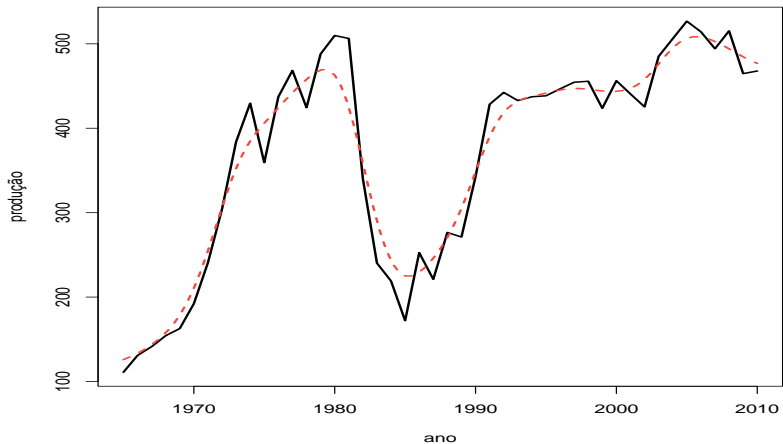
Produção de petróleo da Arábia Saudita

- Já mencionada anteriormente e inicialmente analisada ([aqui](#)).
- Produção anual de petróleo (milhões de toneladas), Arábia Saudita, 1965-2010. Um total de $n = 46$ observações.
- ST aparentemente estacionária modelável por um processo AR(1).
- Exercício: escrever os modelos ajustados.

Gráficos de ST, FAC e FACP da ST

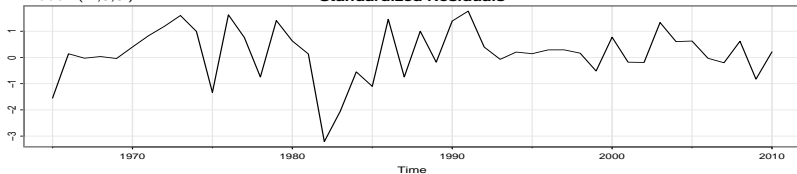


Suavização por kernel ($b=4$)

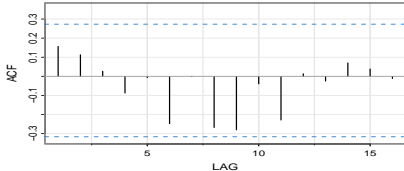


Model: (1,0,0)

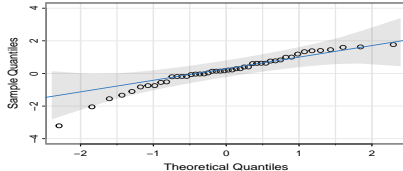
Standardized Residuals



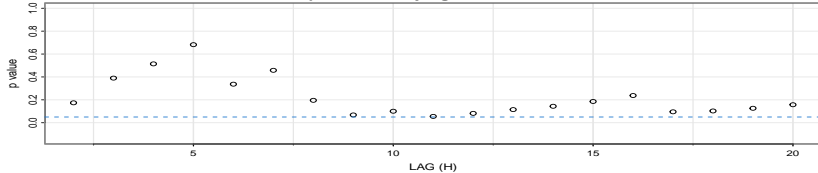
ACF of Residuals

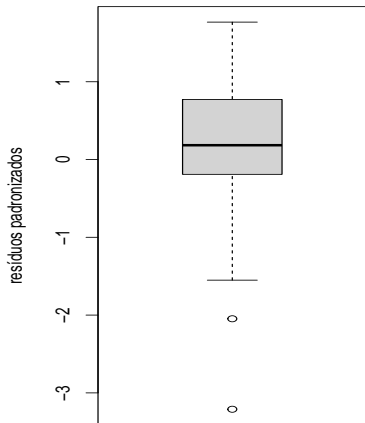
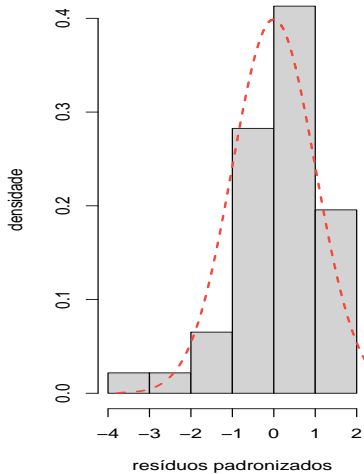


Normal Q-Q Plot of Std Residuals



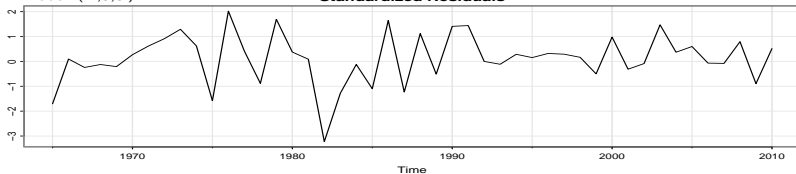
p values for Ljung-Box statistic



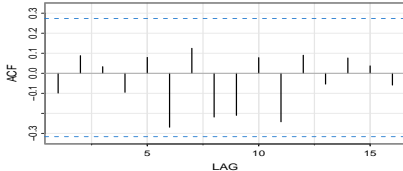


Model: (2,0,0)

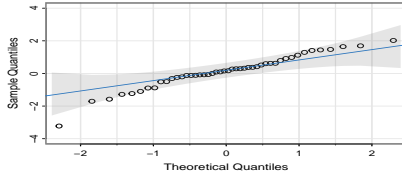
Standardized Residuals



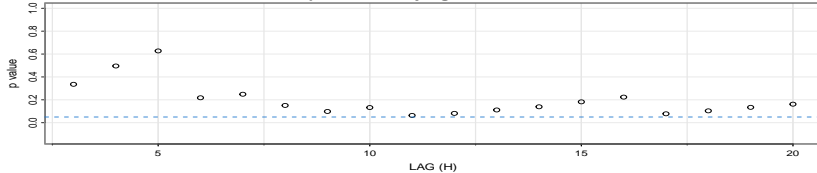
ACF of Residuals

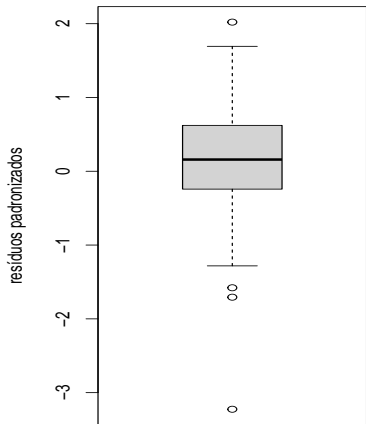
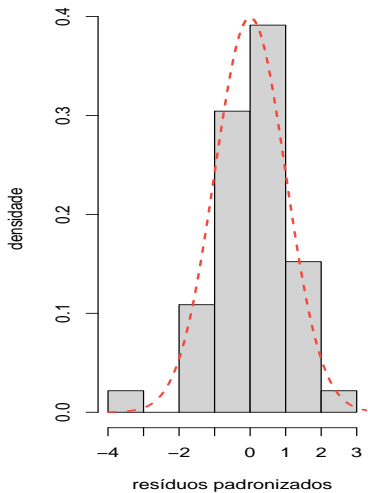


Normal Q-Q Plot of Std Residuals



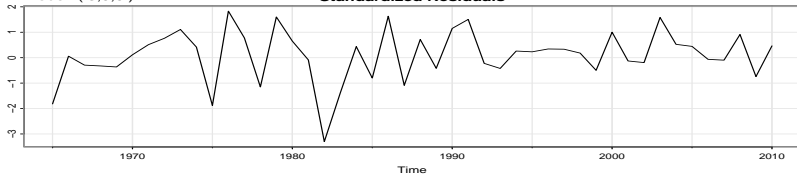
p values for Ljung-Box statistic



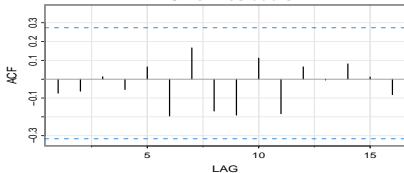


Model: (3,0,0)

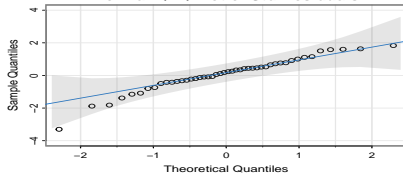
Standardized Residuals



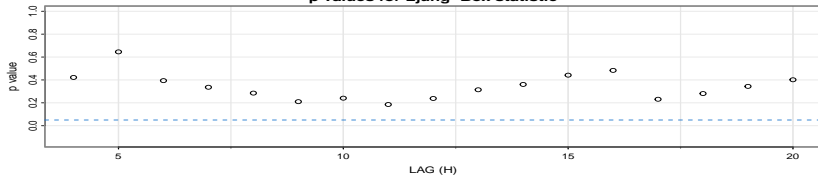
ACF of Residuals

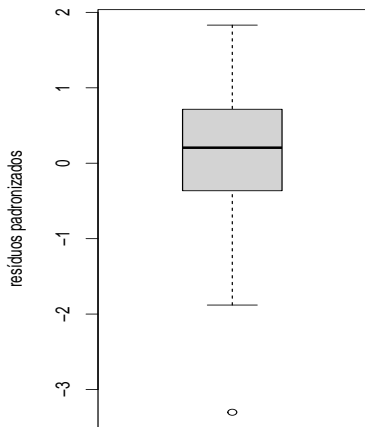
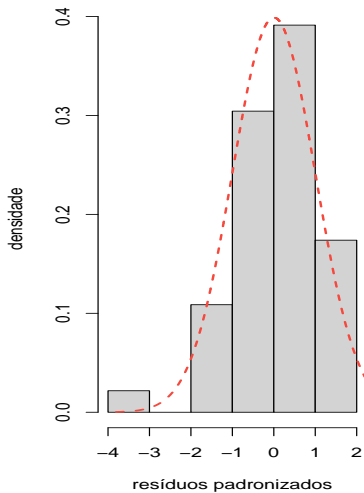


Normal Q-Q Plot of Std Residuals



p values for Ljung-Box statistic





Estatísticas de Comparação de modelos

Modelo	AIC	AICc	BIC
AR1	10,788	10,794	10,907
AR2	10,775	10,788	10,934
AR3	10,785	10,806	10,984

Ajustes dos modelos

Par.	Est.	EP	IC(95%)	Estat. t	p-valor
ϕ	0,94	0,05	[0,85 ; 1,04]	19,55	<0,0001
μ	336,97	96,91	[147,04 ; 526,90]	3,48	0,0012

raiz de $\phi(z)$: $|z| \approx 1,061$ (modelo estacionário e causal)

Par.	Est.	EP	IC(95%)	Estat. t	p-valor
ϕ_1	1,16	0,14	[0,88 ; 1,44]	8,21	<0,0001
ϕ_2	-0,24	0,15	[-0,53 ; 0,05]	-1,63	0,1100
μ	347,52	76,38	[197,82 ; 497,22]	4,55	<0,0001

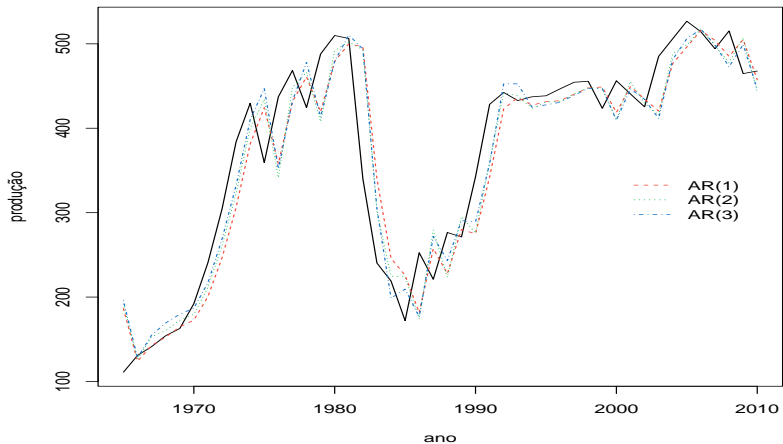
raízes de $\phi(z) \approx (1, 122; 3, 723)$ (modelo estacionário e causal)

Ajustes dos modelos

Par.	Est.	EP	IC(95%)	Estat. t	p-valor
ϕ_1	1,11	0,14	[0,83 ; 1,39]	7,80	<0,0001
ϕ_2	-0,03	0,22	[-0,46 ; 0,40]	-0,13	0,8995
ϕ_3	-0,19	0,15	[-0,48 ; 0,11]	-1,26	0,2147
μ	353,41	61,21	[233,45 ; 473,38]	5,77	<0,0001

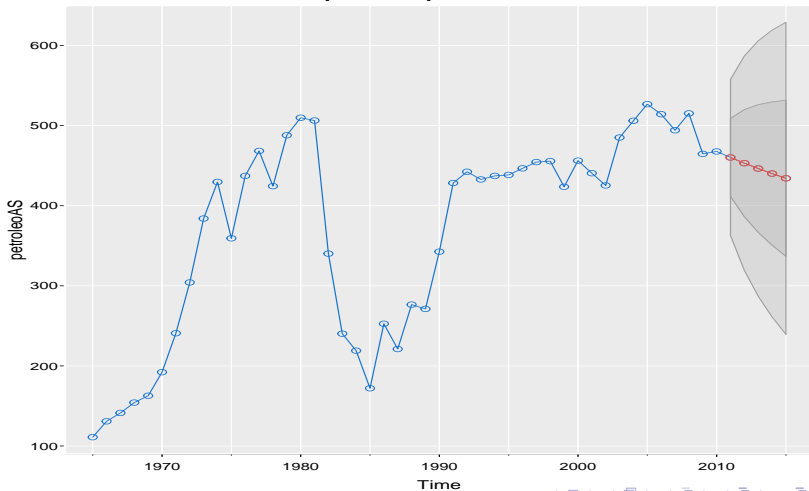
raízes de $\phi(z) \approx (1,359; 1,359; 2,854)$ (modelo estacionário e causal)

Previsão para valores observados



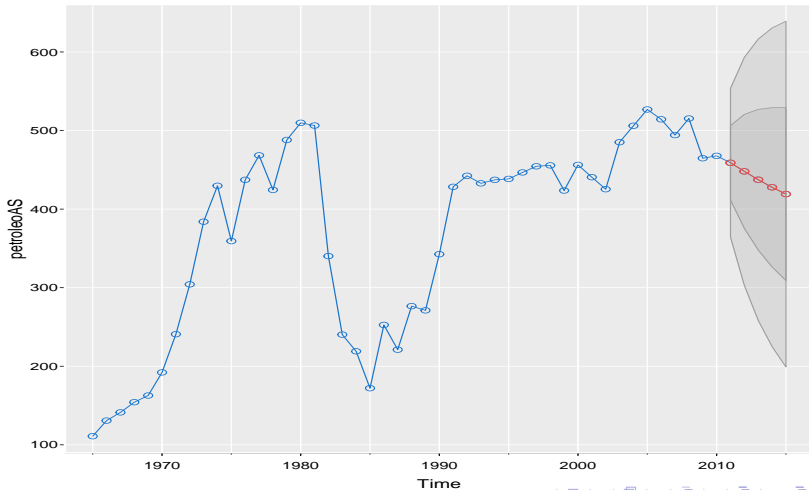
Previsão para valores futuros AR(1)

previsão para 5 anos



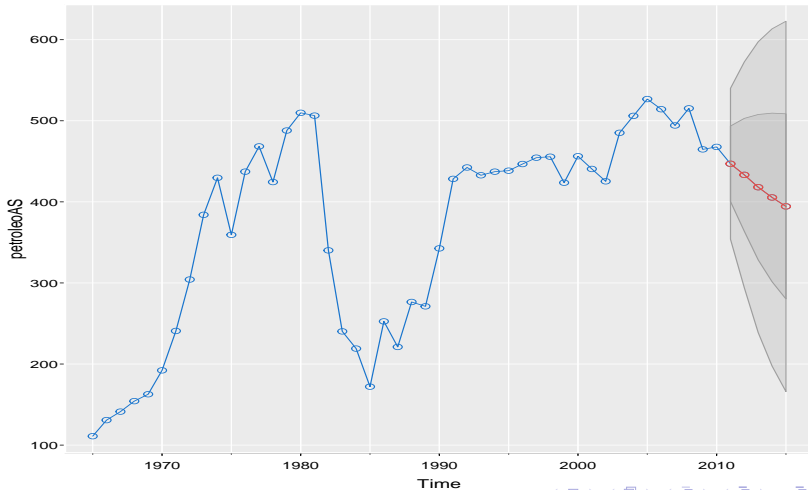
Previsão para valores futuros AR(2)

previsão para 5 anos

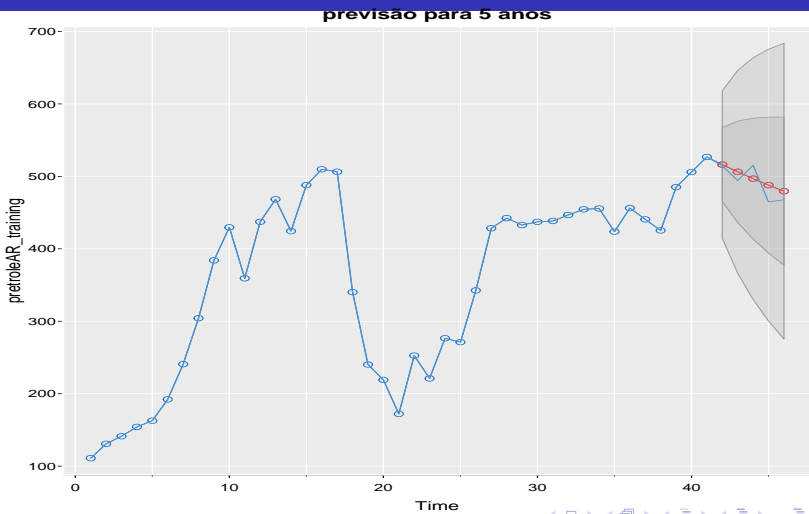


Previsão para valores futuros AR(3)

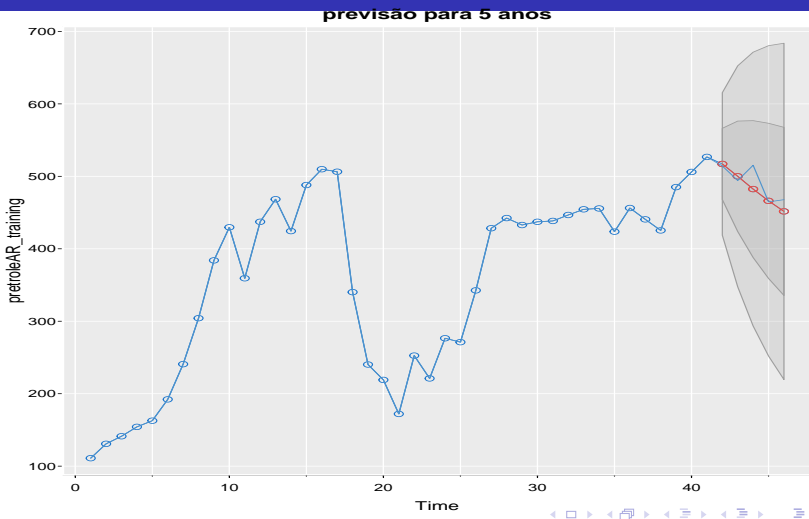
previsão para 5 anos



Previsão para valores futuros observados AR(1)

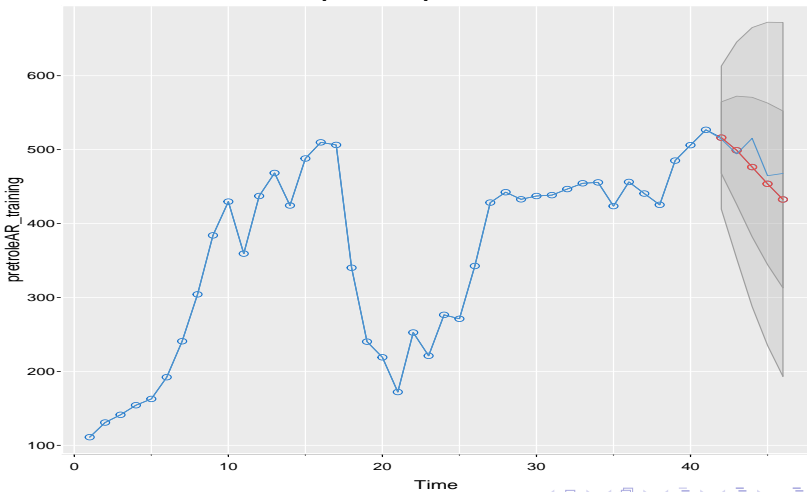


Previsão para valores futuros observados AR(2)



Previsão para valores futuros observados AR(3)

previsão para 5 anos



Previsão para valores observados

Modelo	EQM	EAM	EPM	EPAM
AR(1)	2373,497	36,606	0,100	11,820
AR(2)	2242,634	35,243	-0,685	11,562
AR(3)	2166,302	35,257	-1,200	11,518

Previsão para valores futuros

Modelo	EQM	EAM	EPM	EPAM
AR(1)	3404,386	56,214	11,065	11,065
AR(2)	4391,975	64,807	12,811	12,811
AR(3)	7148,534	83,427	16,552	16,552

Comentários

- Nenhum dos três modelos se ajustou bem aos dados: 1) Assimetria negativa dos resíduos e comportamento não compatível com um ruído branco, 2) Previsões ruins para valores observados, embora razoáveis para valores futuros. O modelo AR(3) apresentou o “melhor” ajuste.
- Provavelmente por isso, as estatísticas de comparação de modelo apresentaram resultado contraditório com as estimativas. Enquanto que a primeira indica o modelo AR(2), a segunda indica o modelo AR(1).

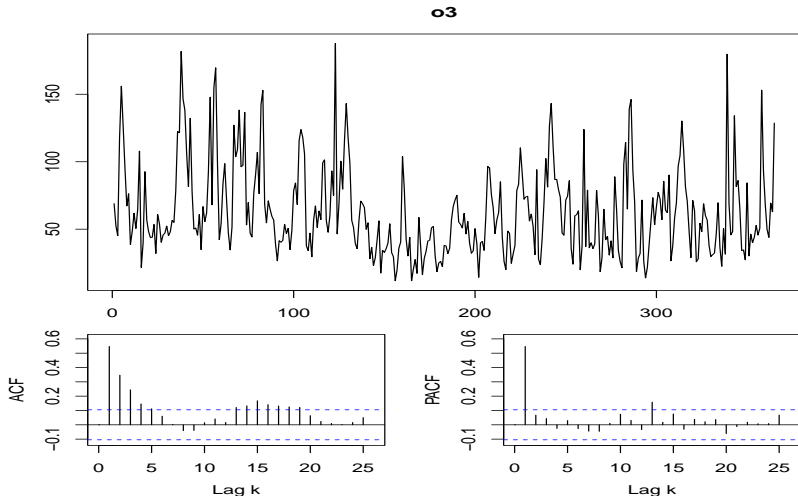
Comentários

- Além disso, somente para previsão de valores futuros, as medidas de comparação concordam e, ainda assim, os erros podem ser não razoáveis.
- Sugestão: ajustar um modelo skew-t ou skew-normal com estrutura (AR(1), AR(2), AR(3)).

Concentração de Ozônio na cidade de São Paulo

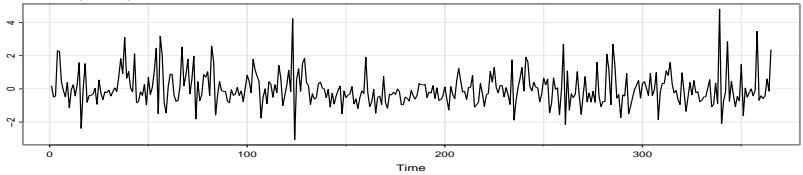
- Trata-se da mensuração diária da concentração de Ozônio na atmosfera da cidade de São Paulo, durante ($n =$) 365 dias do ano de 1997.
- Unidade de medida (g/m^3)(?).
- Os efeitos para a saúde do ozônio (concentração acima do desejado) são parecidos com os de outros poluentes: tosse, irritação na garganta, nos olhos e no nariz. Em casos extremos, segundo os médicos, a poluição pode agravar problemas cardiovasculares e levar até ao infarto.
- A série aparente ser estacionária, com a eventual presença de sazonalidade e/ou ciclos. Um modelo AR(p) pode ser um opção, ao menos inicial, apropriada.

Gráficos de ST, FAC e FACP da ST

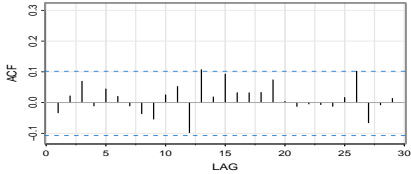


Model: (1,0,0)

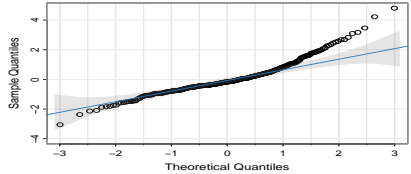
Standardized Residuals



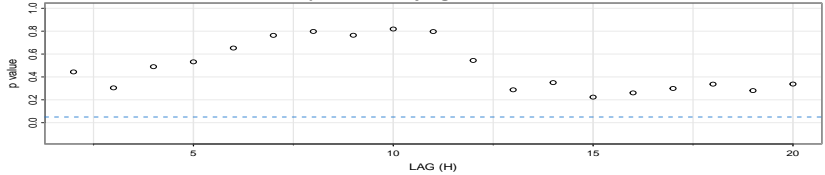
ACF of Residuals

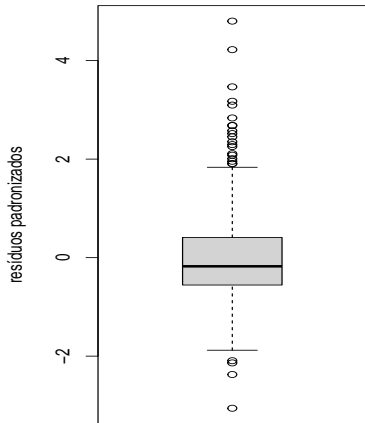
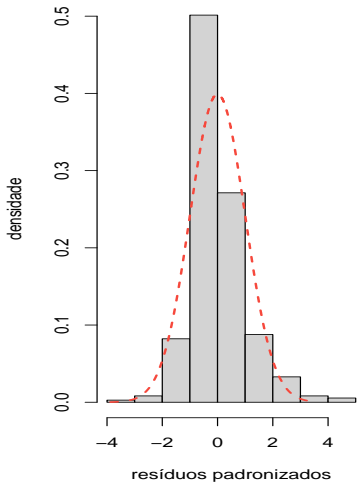


Normal Q-Q Plot of Std Residuals

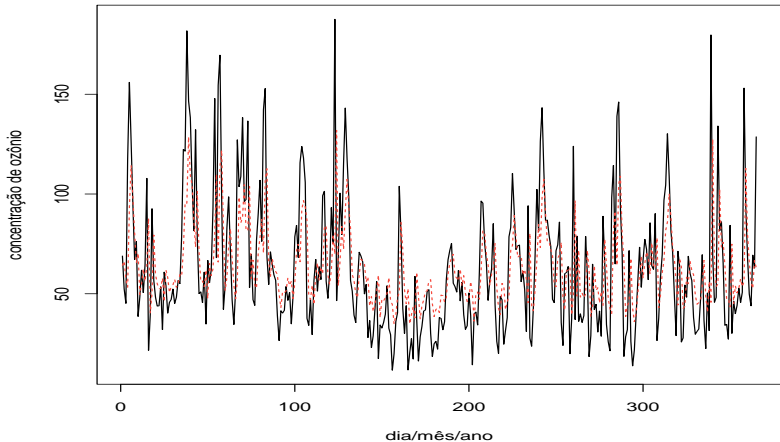


p values for Ljung-Box statistic



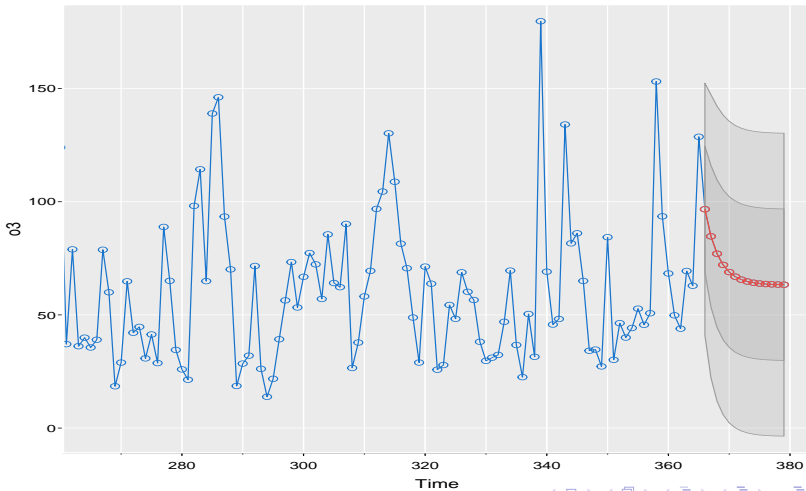


Previsão para valores observados (preto(O), vermelho (P))



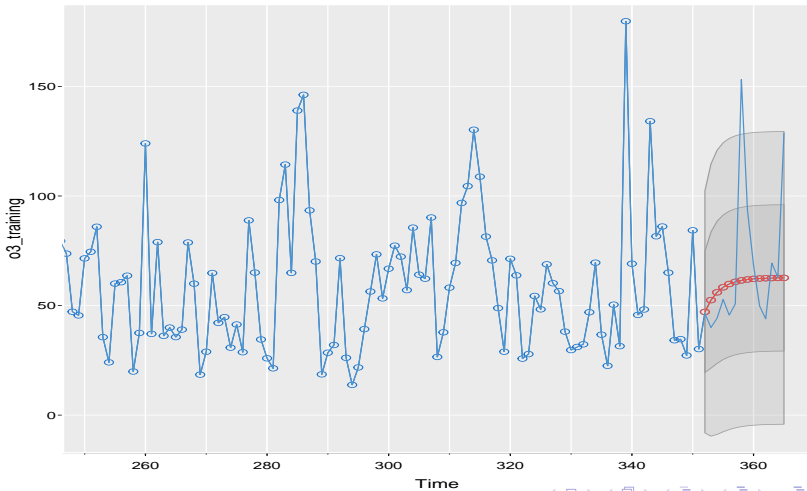
Previsão para valores futuros

previsão para duas semanas



Previsão para valores futuros observados

previsão para duas semanas



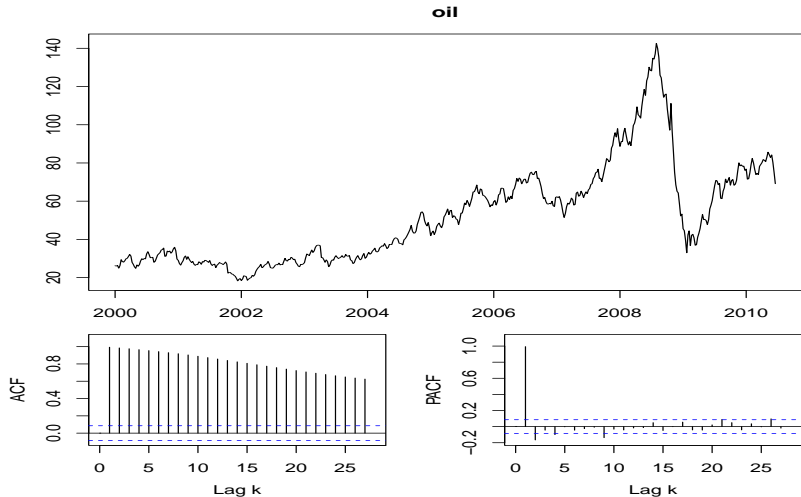
Comentários

- O modelo não se ajustou bem, do ponto de vista de análise residual, pois os resíduos apresentam assimetria à direita, com a presença de vários outliers.
- Do ponto de vista preditivo, o modelo também não se ajustou bem, pois os valores preditos (da ST observada e de valores futuros) estão bem distantes dos valores observados.
- Alternativa, ajustar um modelo com distribuição (erros/variável resposta) com assimetria à direita ou com caudas pesadas e assimetria.

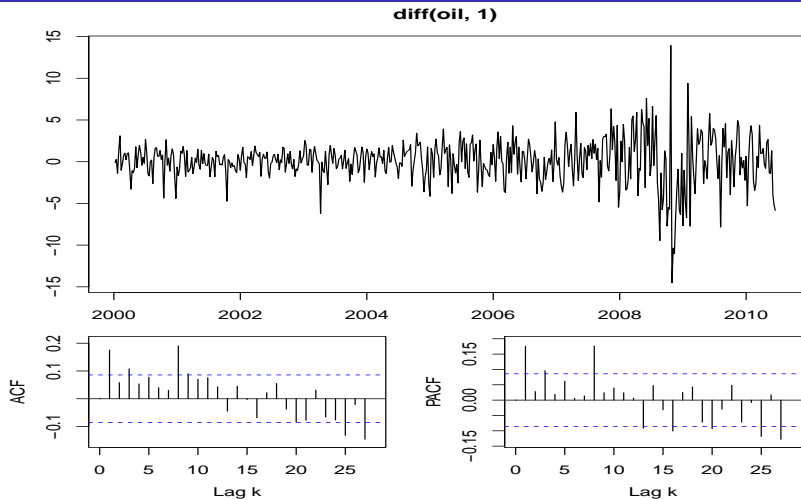
Preço (mundial) do petróleo

- Exercício: escrever os modelos ajustados.
- Petróleo bruto, preço spot WTI FOB (em dólares por barril), dados semanais de 2000 a meados de 2010 (total de $n = 545$ observações).
- ST aparentemente não estacionária. Em princípio, amos considerar um processo $ARIMA(p,q,d)$.

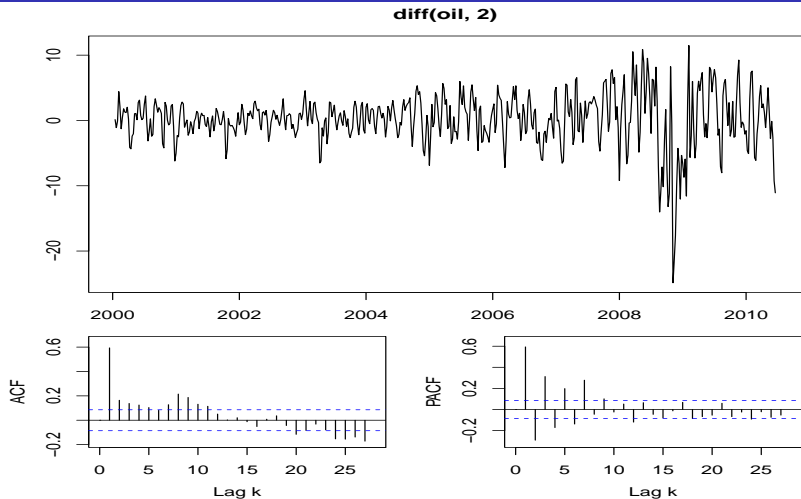
Gráficos de ST, FAC e FACP da ST



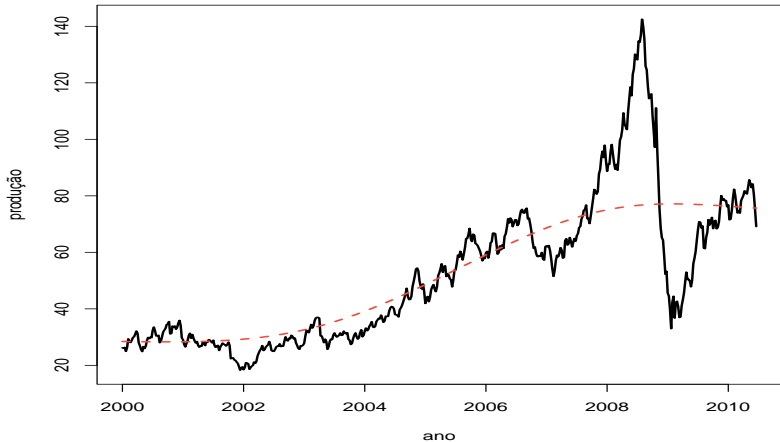
Gráficos de ST, FAC e FACP da ST (Δ_1)



Gráficos de ST, FAC e FACP da ST (Δ_2)

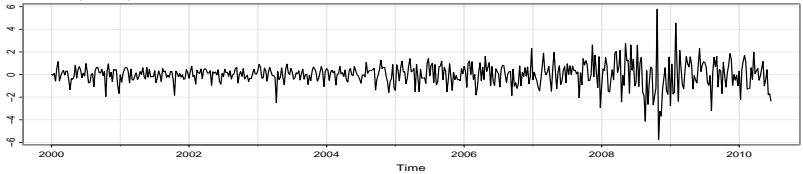


Suavização por kernel ($b=4$)

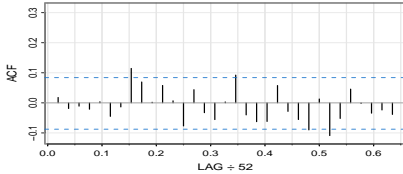


Model: (3,1,3)

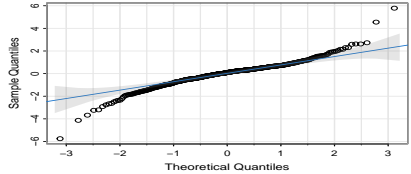
Standardized Residuals



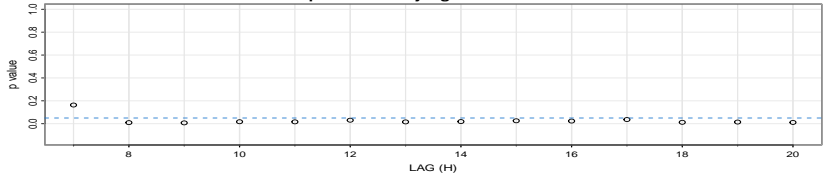
ACF of Residuals

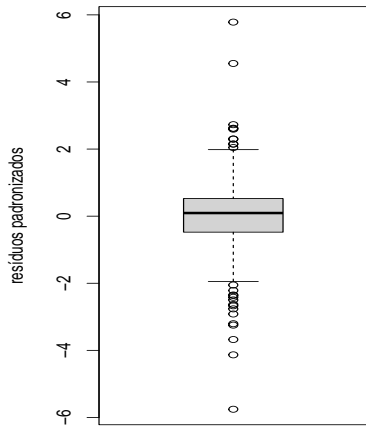
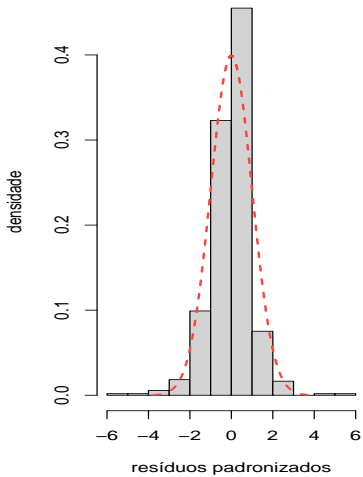


Normal Q-Q Plot of Std Residuals



p values for Ljung-Box statistic



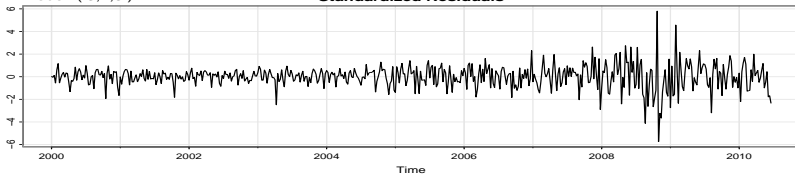


Estimativas (com intercepto)

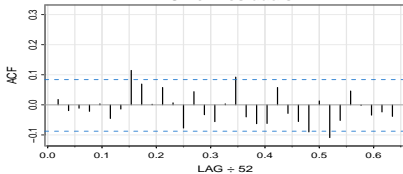
Par.	Est.	EP	IC(95%)	Estat. t	p-valor
ϕ_1	-0,88	0,06	[-1,00 ; -0,76]	-14,20	<0,0001
ϕ_2	0,64	0,09	[0,46 ; 0,82]	7,06	<0,0001
ϕ_3	0,82	0,06	[0,71 ; 0,93]	14,46	<0,0001
θ_1	1,04	0,07	[0,91 ; 1,18]	15,31	<0,0001
θ_2	-0,47	0,12	[-0,70 ; -0,23]	-3,88	0,0001
θ_3	-0,78	0,07	[-0,92 ; -0,65]	-11,59	<0,0001
c	0,06	0,20	[-0,33 ; 0,45]	0,31	0,7603

Model: (3,1,3)

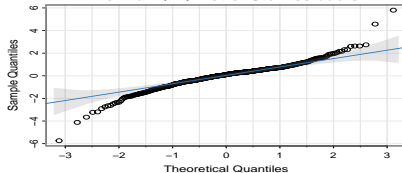
Standardized Residuals



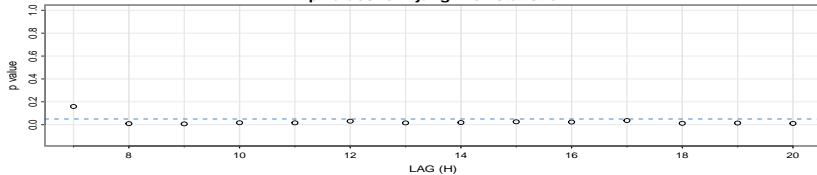
ACF of Residuals

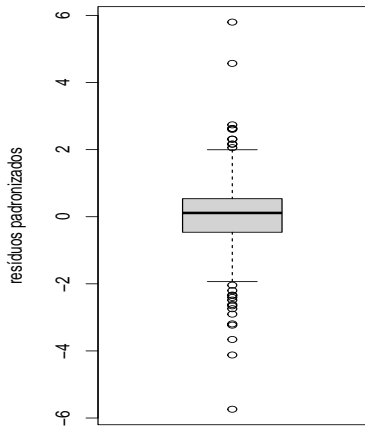
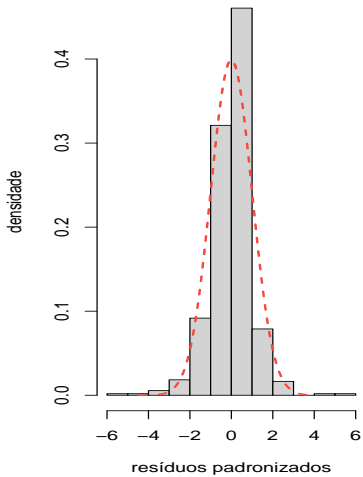


Normal Q-Q Plot of Std Residuals



p values for Ljung-Box statistic



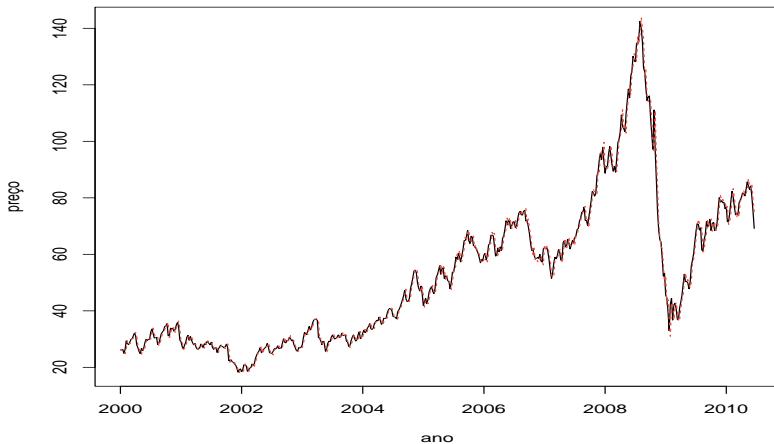


Estimativas

Par.	Est.	EP	IC(95%)	Estat. t	p-valor
ϕ_1	-0,88	0,06	[-1,00 ; -0,76]	-14,42	<0,0001
ϕ_2	0,64	0,09	[0,47 ; 0,82]	7,22	<0,0001
ϕ_3	0,82	0,06	[0,71 ; 0,93]	14,64	<0,0001
θ_1	1,04	0,07	[0,91 ; 1,17]	15,53	<0,0001
θ_2	-0,47	0,12	[-0,70 ; -0,24]	-3,96	0,0001
θ_3	-0,79	0,07	[-0,92 ; -0,65]	-11,76	<0,0001

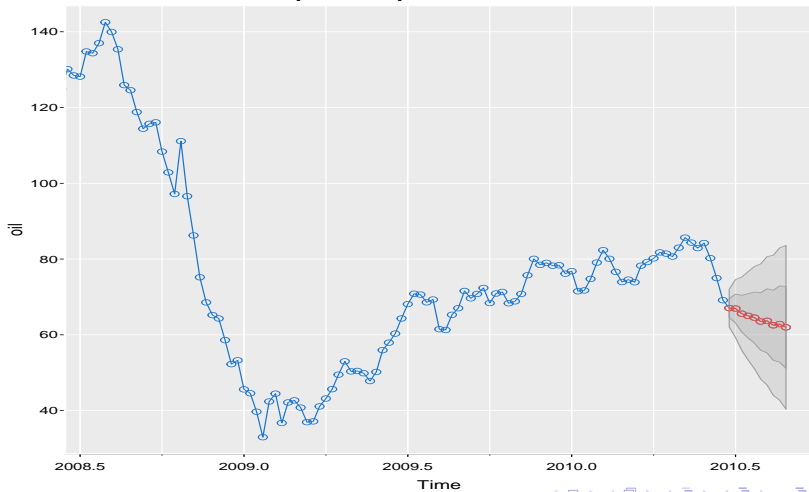
raízes: $-\phi(z) \approx (1,128; 1,042; 1,042)$ (processo estacionário e causal) e
 $\theta(z) \approx (> 1,001; > 1,001; 4,750)$ (processo invertível)

Previsão para valores observados



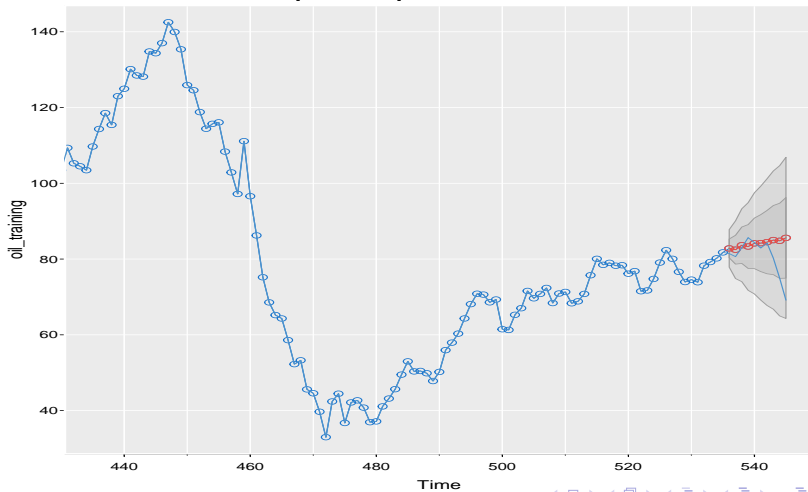
Previsão para valores futuros

previsão para 10 semanas



Previsão para valores futuros observados

previsão para 10 semanas



Comentários

- O modelo não se ajustou bem aos dados (possivelmente, pela distribuição dos erros), em relação à distribuição dos erros e o fato dos resíduos não serem ruído branco.
- Contudo, em termos de previsão dos valores observados, o modelo se comportou bem, embora para eventos futuros, novamente, observemos problemas.
- Sugestão: ajustar um modelo semelhante, mas supondo distribuição t de Student para os erros.